



JUGOSLOVENSKO DRUŠTVO  
ZA MAŠINSKE ELEMENTE I  
KONSTRUKCIJE

# ZBORNİK RADOVA

SA NAUČNO - STRUČNOG SKUPA  
ISTRAŽIVANJE I RAZVOJ MAŠINSKIH  
ELEMENTATA I SISTEMA

**JAHORINA - IRMES '2002**

1/2



Srpsko Sarajevo - Jahorina  
19. i 20. Septembar 2002. god.



UNIVERZITET U  
SRPSKOM SARAJEVU  
MAŠINSKI FAKULTET





JUGOSLOVENSKO DRUŠTVO  
ZA MAŠINSKE ELEMENTE I  
KONSTRUKCIJE

# ZBORNIK RADOVA

SA NAUČNO - STRUČNOG SKUPA  
ISTRAŽIVANJE I RAZVOJ MAŠINSKIH  
ELEMENTATA I SISTEMA

**JAHORINA - IRMES '2002**

2/2



Srpsko Sarajevo - Jahorina  
19. i 20. Septembar 2002. god.



UNIVERZITET U  
SRPSKOM SARAJEVU  
MAŠINSKI FAKULTET



**ZBORNİK RADOVA SA NAUČNO-STRUČNOG SKUPA  
ISTRAŽIVANJE I RAZVOJ MAŠINSKIH ELEMENATA  
I SISTEMA**

**JAHORINA-IRMES 2002**

**1/2**

**Nosilac :** **JUGOSLOVENSKO DRUŠTVO ZA MAŠINSKE  
ELEMENTE I KONSTRUKCIJE - JuDEKO**  
*Beograd, ul. 27. marta br. 80*

**Organizator :** **MAŠINSKI FAKULTET SRPSKO SARAJEVO**  
**Srpsko Sarajevo, Vuka Karadžića bb**

**Glavni i odgovorni urednik :** **Prof. dr Momir Šarenac**

**Pokrovitelj :**

➤ **MINISTARSTVO NAUKE I KULTURE REPUBLIKE SRPSKE**

**Tehnička priprema :** **Zoran Stikić**

**Tiraž :** 200 primjeraka

**Štampa:** FOPIS, Srpsko Sarajevo

# SADRŽAJ CONTENTS

1/2

## PLENARNA SJEDNICA

<b>Höhn B-R., Oster P., Tobie T., Steingröver K. :</b> <i>EINSATZHÄRTUNGSTIEFE UND TRAGFÄHIGKEIT EINSATZGEHÄRTERER ZAHNRÄDER</i> .....	1
<b>Karaivanov D., Arnaudow K.:</b> <i>DIE ZUSAMMENGESETZTEN MEHRSTEG- PLANETENGETRIEBE IHRE, KOPPLUNGSARTEN UND GESETZ- MÄSSIGKEITEN</i> .....	19
<b>Šarenac M.:</b> <i>PERSPEKTIVE METALSKE INDUSTRIJE U ZEMLJAMA U TRANZICIJI I INTERES MLADIH ZA STUDIJE MAŠINSTVA</i> .....	27
<b>Miltenović V.:</b> <i>RAZVOJ PROIZVODA U FUNKCIJI OPSTANKA PREDUZEĆA NA TRŽIŠTU</i> .....	33
<b>Mihailidis A., Tsilingiridis G.:</b> <i>A WIND ENERGY CONVERTER WITHOUT ROTOR SHAFT</i> .....	39

## Sekcija A RAZVOJ MAŠINSKIH SISTEMA

<b>Kuzmanović S.:</b> <i>ODLIKE SAVREMENIH PROIZVODA U MAŠINSTVU</i> .....	45
<b>Jovičić S., Marjanović N., Čatić D.:</b> <i>FAZE I ALATI INTEGRALNOG RAZVOJA MAŠINSKIH SISTEMA</i> .....	51
<b>Tanasijević S.:</b> <i>ESTETSKA KOMPONENTA U DIZAJNU PROIZVODA</i> .....	57
<b>Radović V., Tomović R.:</b> <i>PRAKTIČNA METODA KONSTRUISANJA PROIZVODA</i> .....	63
<b>Leparov M., Dinev G.:</b> <i>ABOUT MODIFICATION OF MECHANICAL TRANSMISSION</i> .....	69
<b>Radovanović M.:</b> <i>KONSTRUKTIVNA REŠENJA KOMPONENATA LASERSKE MAŠINE ZA SEČENJE</i> .....	75
<b>Batalović V.:</b> <i>ROTOR CENTRIFUGALNOG SAMOMELJUĆEG MLINA - SPECIFIČNOSTI KONSTRUISANJA</i> .....	81
<b>Jevtić J.:</b> <i>POKRETNI SUDOVI POD PRITISKOM</i> .....	87
<b>Petković Z., Zrnić N.:</b> <i>DEVELOPMENT OF NEW CONCEPTS IN DESIGN OF DOCKSIDE CONTAINER CRANES</i> .....	93
<b>Zrnić N., Petković Z.:</b> <i>EVALUTION OF DESIGN SOLUTIONS FOR TROLLEY OF QUAYSIDE CONTAINER CRANES</i> .....	99
<b>Jovanović M., Mijajlović R., Marinković Z., Arsić M., Denić D.:</b> <i>UPRAVLJANJE PARALELNOŠĆU KRETANJA DIZALICA</i> .....	105
<b>Marković S., Marinković Z.:</b> <i>ANALIZA PROCESA ZAUSTAVLJANJA DIZALIČNIH MEHANIZAMA SA ZAZOROM</i> .....	111
<b>Alice C., I., Alic C.:</b> <i>RESEARCH AND EXPERIMENTAL INVESTIGATION ON THE BEHAVIOR IN EXPLOITATION OF METAL WORKSHOPS IN SIDERURGY</i> .....	117
<b>Alexa V., Ratiu S.:</b> <i>COMPLEX INSTALATION FOR THE RESEARCH ON LONGITUDINAL ROLLING PROCESS</i> .....	123

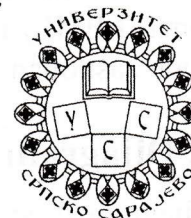
<b>Miklos I., Z., Miklos I., Cioata V., G.:</b> <i>EXPERIMENTAL TRAILS ON THE PROTECTION SYSTEM OF THE BLOOM TILTING MECHANISM</i> .....	129
<b>Grigorova K.:</b> <i>A CONCEPT OF SUPPORTING ENGINEERING CHANGE MANAGEMENT</i> .....	135

<b>Sekcija B</b> <b>RADNA OPTEREĆENJA MAŠINSKIH SISTEMA</b>
--

<b>Mijajlović R., Marinković Z.:</b> <i>ANALIZA DINAMIČKOG FAKTORA U STANDARDIMA ZA DIZALICE</i> .....	141
<b>Janošević D., Jevtić V., Milić P.:</b> <i>ANALIZA UTICAJNIH PARAMETARA NA GRANIČNE SILE KOPANJA HIDRAULIČNIH BAGERA</i> .....	147
<b>Marinković Z., Marković S., Miltenović D., Marinković D.:</b> <i>SIMULACIJA PROCESA OPTEREĆENJA I NAPREZANJA VRATILA MEHANIZMA MAŠINA NA ELEKTROMOTORNI POGON</i> .....	153
<b>Stefanović S., Stamenković S., Jevremović V., Stošić M.:</b> <i>VUČNE KARAKTERISTIKE <math>F_v(v)</math> DIZEL LOKOMOTIVE SA MEHANIČKIM PRENOSOM SNAGE</i> .....	159
<b>Radosavljević A., Jovanović R.:</b> <i>PRILOG ODREĐIVANJU OSOVINSKOG OTPORA KRETANJA VOZA KAO FAKTORA RADNOG OPTEREĆENJA MEHANIČKOG SISTEMA VOZ-PRUGA</i> .....	165
<b>Prodanović R., Stevanović Z., Mirković S., Jovanović R.:</b> <i>UTICAJ KOLOSEKA NA UBRZANO TROŠENJE TOČKOVA NA JŽ I U SVETU</i> .....	171
<b>Prodanović R., Stevanović Z., Mirković S., Jovanović R.:</b> <i>BITNI UTICAJNI FAKTORI NA TROŠENJE TOČKOVA ŠINSKIH VOZILA SA POSEBNIM OSVRTOM NA TERETNA KOLA</i> .....	177
<b>Popa I., Popa G. N., Deaconu S.:</b> <i>THE DETERMINATION OF THE ELECTRIC MOTOR POWER THAT DRIVES THE BELT TRANSPORT CONVEYERS</i> .....	183
<b>Žepinić C.:</b> <i>SPOLJAŠNJE OPTEREĆENJE RADNE MAŠINE KAO SLUČAJNA FUNKCIJA</i> .....	189

<b>Sekcija C</b> <b>ZAMOR I RAZARANJA (LOM)</b>
--

<b>Kirić M., Sedmak A., Arsić M., Aleksić V.:</b> <i>PRIMENA DVOPARAMETARSKOG PRISTUPA MEHANIKE LOMA NA INTEGRITET KONSTRUKCIJA</i> .....	195
<b>Aleksić V., Sedmak A., Arsić M., Kirić M.:</b> <i>PRIMENA PARAMETARA MEHANIKE LOMA NA PROCENU INTEGRITETA ZAVARENIH KONSTRUKCIJA</i> .....	201
<b>Rakin M., Mijuca D., Zrnić N., Sedmak A.:</b> <i>NUMERIČKO PRAĆENJE RASTA PRSLINE U USLOVIMA NASTANKA ŽILAVOG LOMA ČELIKA</i> .....	207
<b>Šubara N., Stefanović S., Stojković S.:</b> <i>STANJE ZAMORA, ZBIRNO OŠTEĆENJE I PREOSTALI VEK U REALNIM USLOVIMA EKSPLOATACIJE ..</i>	213
<b>Arsić M., Sedmak S., Aleksić V.:</b> <i>UTICAJ REDOSLEDA RADNOG OPTEREĆENJA NA BRZINU AKUMULACIJE OŠTEĆENJA NOSEĆE KONSTRUKCIJE ROTORNOG BAGERA</i> .....	219
<b>Posavljak S.:</b> <i>ISPITIVANJE OTPORNOSTI MATERIJALA NA MALOCIKLIČNI ZAMOR</i> .....	225



## PRIMENA DVOPARAMETARSKOG PRISTUPA MEHANIKE LOMA NA OCENU INTEGRITETA KONSTRUKCIJA

M. Kirić, M. Arsić i V. Aleksić

*U radu je analizirana primena dvoparametarske mehanike loma na procenu integriteta zavarenih konstrukcija sa centralnom prolaznom prslinom. Izrađeni su fortranski programi za izračunavanje dijagrama za procenu loma (FAD). U linearno-elastičnoj oblasti izračunavaju se faktori intenziteta napona, a za elasto-plastičnu oblast izračunava se J integral prema EPRI pristupu. Dat je dijagram za analizu integriteta ravnog konstrukcionog elementa u obliku ploče. Analiziran je uticaj dužine prsline na stabilnost konstrukcije.*

### 1. Uvod

Jednoparametarska mehanika loma pri određenim uslovima nije primenljiva na deo konstrukcije sa prslinom [1]. To je slučaj velikog tečenja kada plastična zona poprimi relativno velike razmere i naponi i deformacije u oblasti oko vrha prsline više ne mogu jedinstveno da se opišu J integralom i kritična vrednost J integrala postaje zavisna od dimenzija i geometrije elementa konstrukcije. Da bi se uzelo u obzir međudejstvo loma i plastičnog kolapsa, koriste se:

- ◆ Dijagram procene loma (FAD)<sup>1</sup>, koji je uvela Centralna laboratorija za električna istraživanja Velike Britanije (CEGB) na osnovu radova Doulinga i Tounlija, kao i Harisona i dr. [2]. Ova metoda je kasnije ugrađena u zvanični dokument R6, koji je CEGB izdao prvi put 1980. godine.
- ◆ Inženjerski pristup ispitivanju rasta i stabilnosti prsline u konstrukciji, koji je predložio Ši, a ugrađen je u priručnik Istraživačkog instituta elektroprivrede SAD (EPRI), poznat kao EPRI pristup (metoda), [3].

Obe metode mogu da se primene na element konstrukcije sa ravnom geometrijom i prslinom u njenoj sredini, izloženoj zateznom opterećenju u pravcu normalnom na

<sup>1</sup> U originalu: The Failure Assessment Diagram, [2,3,5,10], "dijagram procene loma" kao u [6].

nju. Pri tome, dvoparametarski pristup CEEB je zasnovan na linearno-elastičnoj mehanici loma (LEML) i faktoru intenziteta napona (FIN), ali dvoparametarski pristup može da bude zasnovan i na primeni J integrala.

## 2. Dijagram procene loma

Dijagram procene loma predstavlja dijagram sa interpolacionom krivom za prelaz od krtog loma određenog žilavošću loma  $K_{Ic}$  u LEML, ka plastičnom lomu određenom naponom loma [2] ili graničnim opterećenjem  $P_0$  [3]. Kriva u dijagramu na čijoj je apscisnoj osi bezdimenzionalni napon, a ordinata bezdimenzionalni FIN ili sila razvoja prsline, omogućava dvoparametarsku analizu i bolje opisivanje realnih uslova, koji su po pravilu između ova dva granična slučaja. Ona sa koordinatnim osama određuje oblast stabilnog (pouzdanog) stanja konstrukcije, a tačke u spoljašnjoj oblasti, odgovaraju njenom nestabilnom stanju, odnosno, lomu [2,5].

### 2.1 Slučaj malog tečenja materijala

Dvoparametarski pristup kod procene loma uveli su Douling, Tounli i Luzmor. Analitički izraz za ovu krivu u modelu traka tečenja (MTT) se zasniva na efektivnom FIN, datog izrazom Bardekina i Stouna

$$K_e = \sigma_y \sqrt{a\pi} \left( (8/\pi^2) \ln \sec(\pi\sigma / 2\sigma_y) \right)^{1/2} \quad (1)$$

u kome je  $\sigma_y$  napon tečenja ( $R_e$ ),  $a$ -polovina dužine prolazne prsline i  $\sigma$  primenjen napon u pravcu dužine elementa (ploče), normalan na dužinu prsline. Zavisnost  $K_e(\sigma)$  je u znatnom području veličine napona  $\sigma$  linearna, kao i mnoge relacije između drugih parametara LEML, [4], ali daje realnije vrednosti FIN u elasto-plastičnom području. Prema jedn. (1), lom konstrukcije nastupa za vrednost napona  $\sigma = \sigma_y$ , ali može da pretrpi lom i za neku drugu vrednost napona. Napon loma konstrukcije  $\sigma_c$  u opštem slučaju zavisi od karakteristika materijala, vrste opterećenja i same konstrukcije. Polazeći od izraza (1), izvodi se jednačina krive u FAD dijagramu

$$K_r = S_r \left[ \frac{8}{\pi^2} \ln \sec\left(\frac{\pi S_r}{2 r}\right) \right]^{-1/2} \quad (2)$$

gde su kritični bezdimenzioni parametri redom ordinata i apscisa tačke u dijagramu

$$K_r = \frac{K_I}{K_e}, \quad S_r = \frac{\sigma}{\sigma_c} \quad (3)$$

a  $K_I = \sigma \sqrt{\pi a}$  je linearni elastični FIN za prolaznu prslinu u beskonačnoj ploči. Kriva (2) je geometrijsko mesto predviđenih tačaka loma. Kriva ograničava oblast koja je sigurna od loma. Krt lom nastupa pri uslovu  $K_e = K_{Ic}$  ili  $K_r = 1$ . Ako je žilavost loma velika, a konstrukcija preopterećena, dolazi do plastičnog loma kada je  $S_r = 1$ . U ostalim slučajevima između ova dva vida loma, i  $K_r$  i  $S_r$  su manji od jedinice pri lomu. Drugim

rečima, ma koja kombinacija opterećenja i veličine greške, čija je reprezentativna tačka ( $S_r$ ,  $K_r$ ) na krivoj ili izvan nje, dovodi do loma. Kriterijum loma zasnovan na dostizanju kritičnog otvaranja vrha prsline,  $CTOD_c$ , ekvivalentan je kriterijumu da  $J$  integral dostigne kritičnu vrednost  $J_c$ , što je uslov da počne širenje prsline:

$$J = J_c \quad (4)$$

gde je  $J_c = \sigma_y \cdot CTOD_c$  svojstvo materijala [2]. Efektivni FIN, jedn. (1), može da se primeni na stvarne konstrukcije ako se  $\sigma_y$  zameni kritičnim naponom loma konstrukcije. Na taj način uslov loma je da se primenjeni napon povećava do vrednosti kritičnog napona, jer se izraz (1) tada neograničeno povećava, a  $K_r$  teži jedinici.

Modifikacijom jedn. (2) dobija se jednakost koja ima šire područje primene i daje krivu procene loma ili R-6 krivu:

$$\left( \frac{K_I}{K_c} \right)_f = \frac{\sigma_f}{\sigma_c} \left[ \frac{8}{\pi^2} \ln \sec \left( \frac{\pi}{2} \frac{\sigma_f}{\sigma_c} \right) \right]^{-1/2} \quad (5)$$

U jednakosti (5)  $\sigma_f$  označava napon u udaljenom preseku koji izaziva lom. Napon plastičnog loma  $\sigma_c$  zavisi od količnika dužine prsline i širine ploče  $RAW = 2a/W$  prema izrazu [2,5]

$$\sigma_c = \gamma \bar{\sigma} (1 - RAW)^m \quad (6)$$

gde je  $\bar{\sigma}$  efektivni napon tečenja (ojačavanja),  $\gamma$  bezdimenzionalna konstanta,  $m=1$  za ploču sa centralnom prslinom i epruvetu sa dva bočna, naspramno postavljena zareza, a za uzorke za savijanje  $m=2$ . Izrazima (3) za kritične parametre, koje daje MTT, odgovaraju izrazi

$$K_r = \frac{K_I}{K_c}, \quad S_r = \frac{\sigma}{\sigma_c} \quad (7)$$

## 2.2 Slučaj velikog tečenja materijala

Uslov da su plastične deformacije ograničene na malu oblast ispred vrha prsline, nije uvek ispunjen. Nije teško uočiti da klasični FAD dijagram dat u prethodnoj tački ne koristi elasto-plastičnu mehaniku loma (EPML), jer ne uzima u obzir veliko, ili tečenje po preseku elementa [6]. Zaključak EPRI pristupa je da parametri (plastične) mehanike loma zavise od geometrije i dimenzija elementa konstrukcije. Prema njemu,  $J$  integral se dobija superponiranjem rešenja za potpuno plastične uslove  $J_p$  na rešenje za linearno-elastične uslove  $J_e$ <sup>2</sup>. Primenjujući EPRI pristup, kriva u FAD dijagramu, definiše se izrazima sličnim prethodnim izrazima (3) i (6), ali sa  $J$  integralom umesto  $K$ , [3]:

<sup>2</sup> Izračunavanje  $J$  integrala dato je u radu [1] za cilindričnu geometriju, kao i u literaturi [2,3,5].

$$S_r = \frac{P}{P_0}, \quad J_r = \frac{J_e(a)}{J_e(a) + J_p(n)} \quad (8)$$

Ovi izrazi, međutim, uzimaju u obzir deformaciono ojačavanje materijala preko odgovarajućeg koeficijenta  $n$ , geometriju i stanje napona u okolini prsline (RSN ili ravno stanje deformacije RSD).  $J_e$  u imeniocu se izračunava za korigovanu dužinu prsline  $a_e$ , a  $P_0$  je granično opterećenje po jedinici debljine elementa, koje se, za prolaznu prslinu u sredini ploče definiše izrazom (9a) za RSD i (9b) za RSN:

$$P_0 = 4d\sigma_0 / \sqrt{3} \quad (9a)$$

$$P_0 = 2d\sigma_0 \quad (9b)$$

gde  $d$  označava širinu preostalog ligamenta (ploče) na oba kraja prsline. Na ordinati mogu da budu vrednosti  $J$  integrala, ekvivalentnog FIN ( $K_r$ ), datog kvadratnim korenom iz  $J_r$ , ili vrednosti CTOD.

### 3. Fortranski program [7]

Fortranski program FAD je urađen u okviru rada [7] sa ciljem da se uporedi analiza zasnovana na modifikovanom MTT sa analizom zasnovanom na EPML. Program omogućava da se izračunaju: efektivni FIN, jedn. (1), tačke granične krive R-6 u FAD dijagramu, tačke koje odgovaraju određenim zateznim opterećenjima  $P$  za različite materijale, granične krive po EPRI pristupu za različite vrednosti koeficijenta  $n$  i analizira uticaj dužine prsline. Za krive zadane parametarskim jednačinama (8), prethodno se izračunavaju vrednosti  $J$  integrala za određeni materijal i dužinu prsline. Za izračunavanje krivih u dijagramu služe potprogrami koji daju vrednosti FIN i  $J$  integrala.

### 4. Primeri analize pomoću FAD dijagrama [7]

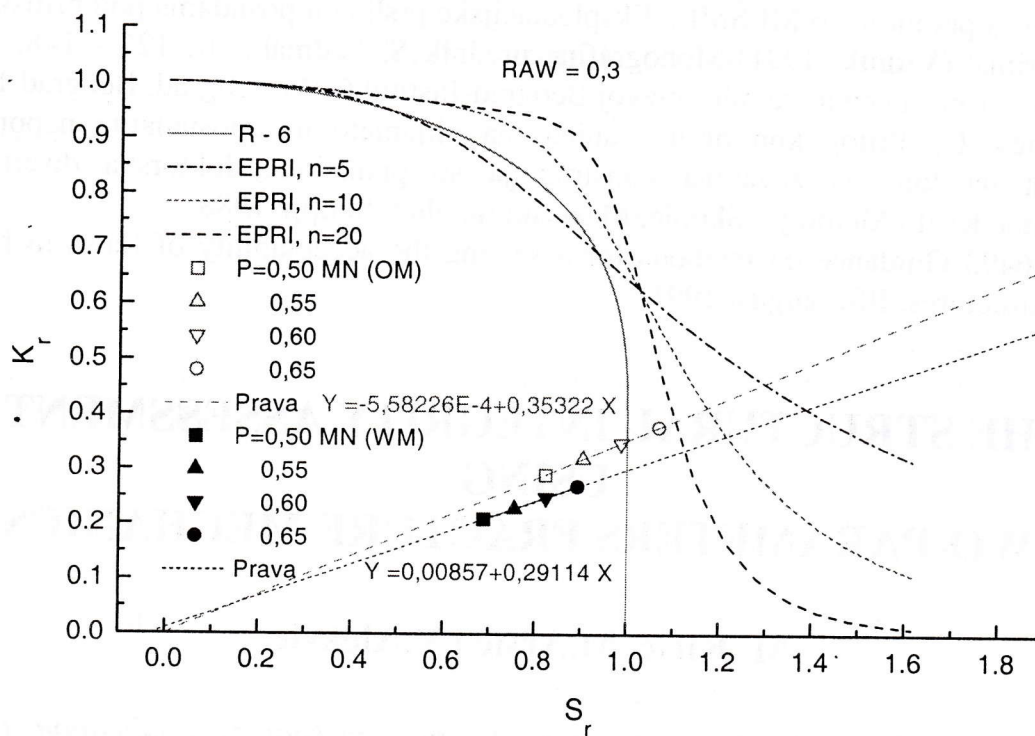
Za primenu su izabrani mikrolegiran čelik T.StE 460 sa  $\sigma_y=460$  MPa,  $E=2,1 \cdot 10^5$  MPa,  $\bar{\sigma}=542,5$  MPa i  $K_{Ic}=220$  MPa  $m^{1/2}$  i geometrija zatezne ploče sa centralnom prslinom (širina  $W=80$  mm, debljina  $H=20$  mm i  $a=12$  mm), prema radovima [8,9]. Neka je za drugi metal (metal šava, WM)  $\bar{\sigma}=650$  MPa i  $K_{Ic}$  za 40% veće od navedene vrednosti za prvi metal (OM). Kod izračunavanja  $J$  integrala po EPRI pristupu pretpostavljeno je RSN i korišćena je vrednost konstante  $\alpha=1,12$  [3].  $J_e$  integral je izračunat pomoću izraza za tabličnu funkciju  $F$  koja daje korekciju FIN zbog konačne širine ploče [2,5]

$$F = \left[ \sec(\pi RAW / 2) \right]^{1/2} \left( 1 - 0,025RAW^2 + 0,06RAW^4 \right) \quad (10)$$

Na slici 1 je dat FAD dijagram sa graničnim krivama prema modifikovanom MTT i EPRI pristupu za  $n=5,10$  i  $20$ . Svedena dužina prsline za izabrani primer je  $RAW=0,3$ . Kriva R-6 je konzervativna u odnosu na EPRI krive, jer ograničava manju oblast, u kojoj su vrednosti  $S_r$  manje. Krive sa malim  $n$  za jako ojačavajući materijal dopuštaju veće vrednosti  $S_r$  nego krive za  $n \gg 1$ , tj. za slabo ojačavajući (elastični) materijal.

Dijagram je dat za element sa centralnom prslinom navedenih dimenzija, izložen zateznom opterećenju  $P$ , za četiri vrednosti  $P$ . U dijagramu su naznačene tačke sa koordinatama  $S_r$  i  $K_r$  koje korespondiraju rastućim vrednostima  $P$  od 0,50 MN do 0,65 MN za oba navedena materijala. Tačke za jači metal (WM) ostaju u oblasti ograničenoj R-6 krivom za sve vrednosti  $P$ . Za svaki od nizova tačaka je metodom najmanjih kvadrata izračunata radna prava čija je jednačina data na dijagramu. Kada nema opterećenja, radna tačka je u koordinatnom početku. Za  $P=0,6$  MN, OM je prema R-6 krivoj blizu kolapsa, dok prema EPRI krivoj za  $n=20$ , on još nije pretrpeo lom. R-6 kriva predviđa lom WM pri opterećenju oko 0,725 MN, a kriva za  $n=20$  na oko 0,82 MN.

Dok kriva R-6 ne zavisi od dužine prsline, parametar RAW utiče na granične krive dobijene pomoću J integrala, pošto vrednost J integrala zavisi od RAW. Vidi se da krive zasnovane na J integralu dopuštaju vrednosti  $S_r > 1$ . Zaključak je da se pomoću FAD dijagrama može oceniti i kritična veličina greške ako su dati opterećenje i osobine materijala. Za razliku od ovog, u radu [8] je dat FAD dijagram samo sa R - 6 krivom. Rezultati ova dva dijagrama su upoređeni u [7].



Slika 1. Uticaj opterećenja na položaj reprezentativnih tačaka u FAD dijagramu za element sa centralnom prolaznom prslinom za OM i WM (RAW=0,3) [7]

## 5. Zaključak

Dvoparametarska analiza omogućava ocenu integriteta konstrukcije i pouzdanosti u toku njenog rada, uzimajući u obzir i slučajeve kada lom nije ni krt lom ni plastični kolaps. Ovakva ocena može da se primeni na realne situacije u cilju utvrđivanja spremnosti (pogodnosti) za upotrebu, što je osnovni zahtev savremene industrije u različitim oblastima proizvodnje.

## Literatura

- [1] M.Kirić, A.Sedmak 'The prediction of ductile fracture for axially cracked pressure vessels' (Predviđanje žilavog loma posuda sa podužnom prslinom), Integritet i vek konstrukcija, godina II (2002), br.1, Beograd (u štampi)
- [2] T.L. Anderson, 'Fracture mechanics - fundamentals and applications', CRC press Inc. 1995. Texas
- [3] V. Kumar, M.D. German, C.F. Shih, 'An engineering approach for elastic-plastic fracture analysis', NP-1931, Research Project 1237-1, General Electric Company, New York 1981.
- [4] M.Kirić, 'Linearne relacije između parametara mehanike loma u Kingovom modelu', Zavarivanje i zavarene konstrukcije, Vol.44, 3/1999, 5-18.
- [5] M.Kanninen, C.Popelar, 'Advanced fracture mechanics', Oxford university press Inc., 1985, pp. 68, 172-173.
- [6] P.Agatonović, 'Različite strategije određivanja preostale čvrstoće i veka', Integritet i vek konstrukcija, godina I, broj 2, (2001), str. 77.
- [7] M.Kirić, doktorska teza, Mašinski fakultet Univerziteta u Beogradu, 2000, str.251.
- [8] Adžiev T., 'Zaostali naponi od zavarivanja - uticaj na ponašanje posuda pod pritiskom sa prslinom', 6 MLŠML: 'Eksploatacijske prsline u posudama pod pritiskom i rezervoarima' (Vrdnik, 1991)-Monografija, urednik S. Sedmak, str. 127 - 148, TMF Beograd-Evropski centar za mir i razvoj Beograd-Institut Goša Beograd, Beograd 1994.
- [9] Adžiev T., 'Prilog kon proučavanjeto na vlijanieto na zaostanate naponi na otpornost na lom na zavarena konstrukcija so prsnatina', doktorska disertacija, Univerzitet 'Kiril i Metodij' - Skopje, Mašinski fakultet, Skopje 1988.
- [10] PD 6493 Guidance on methods for assessing the acceptability of flaws in fusion welded structures, BSI, august 1991.

## THE STRUCTURAL INTEGRITY ASSESSMENT USING TWO-PARAMETERS FRACTURE MECHANICS

**M. Kirić, M.Arsić i V.Aleksić**

*The paper analyses the two-parameters fracture mechanics application to the assessment of structural integrity of welded constructions with central through-thickness crack. Fortran programs are devised for computation of failure assessment diagrams (FAD). Stress intensity factors for the linear-elastic region are calculated as well J integrals for elastic-plastic region using the EPRI approach. A diagram is given for the assessment of structural integrity of plane element in the form of a plate. The influence of crack length on structural integrity is analyzed.*

**Adresa autora: dr Miodrag Kirić, HIP Azotara, Sektor upravljanja kvalitetom, Pančevo,**  
**dr Miodrag Arsić, naučni saradnik, mr Vujadin Aleksić, istraživač saradnik,**  
**GOŠA Institut, Milana Rakića 35, Beograd**